

تقييم التغيرات السنية والهيكلية الناتجة عن توحيش الأرحة الأولى العلوية بجهاز CEOB-1

* د. عمرو الزيتاوي *
* د. فادي خليل *
* أ.م.د. حازم حسن *

(الإيداع: 24 حزيران 2020 ، القبول: 21 آيلول 2020)

الملخص:

يهدف هذا البحث إلى تقييم فعالية إرجاع الأرحة العلوية بجهاز CEOB-1. تضمنت عينة البحث 10 مرضى سوء إطباق من الصنف الثاني أحادي الجانبين من بزغت لديهم الأرحة الثانية العلوية إلى مستوى الإطباق. تم تقييم التغيرات السنية والهيكلية لدى المرضى باستخدام الصور الشعاعية السيفالومترية. أظهرت النتائج حدوث حركة وحشية للأرحة الأولى العلوية باستخدام جهاز CEOB-1 بمقدار 3.64 ملم متراوحة مع إماملة وحشية بمقدار 11.2 درجة، إضافة إلى انسلاط الضاحك الثاني العلوي بمقدار 1.3 ملم وميلانه الأنسبي بمقدار 3.6 درجة. أظهرت نتائج هذه الدراسة أن جهاز CEOB-1 يؤمن مقادير جيدة من الحركة الوحشية للأرحة العلوية والسيطرة على الإرساء مقارنة بالأجهزة الأخرى ذات أساليب الإرساء المشابهة. يوفر هذا الجهاز بديلاً سهلاً للصنع ورخيص الثمن وفعالاً في توحيش الأرحة العلوية، لكن يتزافق ذلك مع حدوث فقدان بسيط في الدعم.

الكلمات مفتاحية: توحيش الأرحة، سوء إطباق من الصنف الثاني، إرساء هيكلـي، معالجات لا قلعـية، Jig Jones.

* طالب ماجستير – قسم تقويم الأسنان والفكين – كلية طب الأسنان – جامعة تشرين
 ** أستاذ مساعد – قسم تقويم الأسنان والفكين – كلية طب الأسنان – جامعة تشرين (مشرفاً رئيساً)
 *** أستاذ قسم تقويم الأسنان والفكين – كلية طب الأسنان – جامعة تشرين (مشرفاً مشاركاً)

Evaluation of dentoskeletal changes of maxillary first molar distalization by CEOB-1 appliance

Dr. Amr Zitawi *Dr. Fadi Khalil** Dr. Hazem Hasan***

(Received: 24 June 2020, Accepted: 21 September 2020)

Abstract:

This research aimed to evaluate the efficacy of maxillary molar distalization by the CEOB-1. The sample included 10 unilateral Class II malocclusion patients who had the upper second molar erupted to the occlusal plane. Dentoskeletal changes in patients were evaluated using cephalometric radiographs. The results showed that the CEOB-1 moved the maxillary first molar distally by 3.64 mm accompanied by distal tipping of 11.2°. Also, the maxillary second premolar moved mesially by 1.3 mm with mesial tipping of 3.6°. The results showed that the CEOB-1 provides a good amount of distalization of maxillary molars, in addition to good anchorage control when compared to other appliances with similar anchorage systems. The CEOB-1 is an easy-to-make, inexpensive and effective alternative for maxillary molar distalization, despite the mild anchorage loss

Keywords: Molar distalization, Class II malocclusion, Skeletal anchorage, Non-extraction treatments, Jones Jig.

*Master's degree student, Department of Orthodontics and Dentofacial Orthopedics, Faculty of Dentistry, Tishreen University.

**Assistant Professor, Department of Orthodontics and Dentofacial Orthopedics, Faculty of Dentistry, Tishreen University (Primary supervisor).

***Professor, Department of Orthodontics and Dentofacial Orthopedics, Faculty of Dentistry, Tishreen University (Associate supervisor).

1- المقدمة :Introduction

يهدف توحیش الأرحاء العلویة Maxillary molar distalization إلى علاج حالات سوء الإطباق من الصنف الثاني بدون قلع، وذلك لدى مرضى الخلل السنی السنخی أو مرضى الخلل الهیکلی الخفیف (Runge et al., 1999). سابقاً، كان من الشائع استخدام جهاز حزام الرأس Headgear (Kloehn, 1961) لتوحیش الأرحاء العلویة، لكن يعيّب هذا الجهاز اعتماده الكبير على تعاون المريض للحصول على الحركة الوحشية المطلوبة. حالياً تعتبر بروتوكولات توحیش الأرحاء الأقل اعتماداً على تعاون المريض أكثر كفاءة وأكثر دقة في توقع النتائج (Bolla et al., 2002). تم تقديم العديد من أجهزة توحیش الأرحاء العلویة كخيارات تقلل من الحاجة للاعتماد على تعاون المريض. أغلب هذه الأجهزة يتضمن وحدة إرساء Anchorage unit (غالباً ما تكون عبارة عن زر نانس Nance button)، إضافة إلى وحدة مولدة القوة Vilanova et al., 2020) (Gianelly et al., 1989). قد تكون وحدة القوة عبارة عن مغناط متنافرة (Carano and Testa, 1996) أو أسلاك نیكل تیتانیوم فائقه المرونة (Locatelli et al., 1992)، أو نوابض حلقية ضمن سلك مستمر أو سلك مجرأ (Jones and White, 1992; Antonarakis and Kiliaridis, 2008) أو نوابض من البتا تیتانیوم (Hilgers, 1992)، أو موسعات توحیش دھلیزیة ونوابض حلقية من النیکل تیتانیوم حنکیا (Fortini et al., 2004). أجهزة التوحیش داخل الفمویة هذه فعالۃ في تصحیح علاقة الأرحاء من الصنف الثاني في وقت قصیر (Carano and Testa, 1996; Haydar and Uner, 2000).

يتعلق مقدار حركة الأرحاء العلویة والتأثيرات الجانبیة الناتجة عنها بشكل مباشر بالمتکانیک الحیوی وخصائص تصمیم كل جهاز. فعلى سبيل المثال، جهاز jig هو جهاز توحیش دھلیزی، في حين يطبق جهاز Distal jet قوة التوحیش حنکیا (Hilgers, 1992; Jones and White, Pendulum 1992)، أيضاً تختلف الأجهزة فيما بينها بأسالیب الإرساء، فمنها ما يعتمد على الدعم الذي يقدمه زر نانس كما في جهاز jig و Jones (Yanez and White, 2008)، ومنها ما يعتمد على الدعم الهیکلی بأجهزة الإرساء المؤقتة TADs (Nanda and Tosun, 2010) Sliding jig (Maino et al., 2007; Cozzani et al., 2010; Nur et al., 2012)، كما هو الحال في أجهزة MGBM و Zygoma-gear و Distal screw (Temporary anchorage devices).

(Antonarakis and Kiliaridis, 2008)

تناول العديد من الدراسات السابقة التأثيرات الناتجة عن عدد كبير من أجهزة توحیش الأرحاء العلویة. درست Patel وزملاؤها (Patel et al., 2014) التأثيرات السنیة والھیکلیة الناتجة عن علاج حالات الصنف الثاني من سوء الإطباق باستخدام جهاز jig متبعاً بالجهاز التقویی الثابت على عینة مؤلفة من 25 مريضاً بمتوسط عمر 12.9 سنة. استغرق التوحیش للوصول إلى حالة صنف أول على مستوى الأرحاء 10.2 شهرًا. لم يكن للتوحیش بجهاز jig تأثير على علاقة الفکین الهیکلیة. بلغ متوسط المسافة التي تحركتها الأرحاء العلویة وحشیاً 2.17 ملم، ومالت وحشیاً بمتوسط مقداره 10 درجات تقريباً، وبلغت بمقدار 0.34 ملم. بينما تحركت الضواحك الثانية إلى الأسی بمقدار حوالي 2 ملم مع إمالة قدرها 10.5 درجة وبلغت بمقدار 2 ملم، وجميع الفروق السابقة كانت مهمة إحصائیاً. يجدر بالذكر أن جميع التأثيرات الجانبیة للتوحیش تم تصحیحها خلال مرحلة الجهاز التقویی الثابت. دراسة أخرى قامت بها Vinalova وزملاؤها (Vinalova et al., 2020) قارنت فيها بين فعالية التوحیش للأجهزة jig و Jones و Distal jet و First Class، ووجدت فيها أن جهاز jig قادر على تحريك الرحى الأولى العلویة وحشیاً بمقدار 1.82 ملم وبمیلان وحشی قدره 7.73 درجة وتغیر بمقدار 0.61 ملم، إضافة إلى انسال الضواحك الثانية العلویة أنسیا بمقدار 3.87 ملم وبمیلان أنسی يساوى 12.77 درجة وتبنیغ يساوى 0.48 ملم.

تم تصميم جهاز CEOB-1 عام 2001 من قبل البروفيسورين Esequiel Rodriguez و Rogelio Casasa Araujo في Centro de Estudios de Ortodoncia del Bajío (CEOBO) في Yanez Guanajuato، المكسيك. يعتبر CEOB-1 جهازاً مشابهاً في تصميمه لجهاز jig Jones، لكن نظراً إلى الحالة المادية للمرضى المراجعين لمركز CEOB فقد تم صنع الجهاز CEOB-1 من مواد في متناول اليد، ليصبح لدينا جهازاً مشابهاً لجهاز jig Jones الذي صممته الدكتورة Jones و White عام 1992 لكن بجزءٍ صغيرٍ من تكلفته. حسب مقدميه، يولد الجهاز CEOB-1 قوة تتراوح بين 75 و 150 غرام، ويستمد دعمه من زر نانس معدل ملحوظ على أطواق الضواحك الثانية العلوية (Yanez and White, 2008).

2- الهدف من البحث :Aims

لا يوجد في الأدب الطبي دراسات سابقة تناولت هذا الجهاز، لذلك هدفت هذه الدراسة إلى:

- 1- تحري فعالية هذا الجهاز في توحیش الأرحاء العلوية.
- 2- تقييم سيطرته على قوى رد الفعل الناتجة عن قوى الدفع الوحشي للأرحاء (أي سيطرته على الإرساء).

3- المواد والطرق Materials and methods

تضمنت عينة الدراسة 10 مرضى من مراجعين قسم تقويم الأسنان والفكين ومن توافرت فيهم معايير الإدخال التالية:

1. مرضى من الصنف الأول الهيكلي أو الثاني الهيكلي الخفيف (ANB=2-5).
2. علاقة أرحاء صنف ثانى سئى أحادية الجانب حسب أنجل.
3. عدم وجود ازدحامات سنية أو وجود ازدحامات سنية خفيفة (عجز قاعدي لا يتجاوز 4 ملم)، وعدم وجود فراغات.
4. العمر (تم اعتماد العمر السنى): بزوع الرحم الثانية العلوية في جهة التوحیش ووصولها إلى مستوى الإطباق الوظيفي.
5. جميع الأسنان الدائمة بازغة موجودة عدا الأرحاء الثالثة.
6. خطة معالجة بدون قلع.
7. نموذج وجهي قصير أو طبيعي ($\text{Sn}^8\text{GoMe}^3\text{7}$).
8. الأرحاء الثالثة العلوية بازغة أو لم تزغ بعد في جهة التوحیش ليتم قلعها قبل لحظة الإرجاع.
9. عنایة فمویة جيدة ونسج داعمة سلیمة بدون جیوب لثویة أو انحسارات عظمیة.

حصل بروتوكول البحث على موافقة المجلس الأخلاقي التابع لكلية طب الأسنان بجامعة تشرين، كما تم الحصول على موافقة المرضى أو أوصيائهم القانونيين للانضمام إلى عينة البحث من خلال توقيعهم على مستند يحتوي كافة تفاصيل إنجاز البحث (بعد الشرح والتأكد من استيعابهم لكافة محتويات المستند)، مع التأكيد على حقهم بالانسحاب من عينة البحث في حال رغبتهم بذلك.

بعد التأكيد من انتظام معايير الإدخال على المريض يطلب منه إجراء صور شعاعية بانورامية وسيفالومترية جانبية بالإطباق المركزي، ثم يتمأخذ الطبعات التشخيصية وأخذ صور ضوئية تشخيصية كاملة للحالة حسب توصيات هيئة الborad الأمريكي لطب الأسنان ABO.

من أجل توحيد جهاز التصوير الشعاعي لكل أفراد العينة تم تحويل مرضى العينة إلى مركز التصوير الشعاعي (M.S.) في مدينة اللاذقية (لا توجد هناك أي علاقة أو مصلحة بين الباحثين ومركز التصوير الشعاعي المذكور):

طريقة تصنيع جهاز CEOB-1:

1. نحتاج لصنع الجهاز إلى سلك 0.9 ملم مدور وسلك 0.025×0.017 إنش من الستانلس ستيل (طول كل سلك حوالي 6 سم)، إضافة إلى نابض فتح مسافة NiTi وسلك ربط بقياس 0.012 إنش وخطاف متزلق (بالإضافة كما ذكرنا إلى زر نانس معدل وطوق على الرحي الأولى المراد توحیشها).



الشكل رقم (1): يظهر العناصر الأساسية لصنع جهاز CEOB-1

2. يتم طي سلك 0.9 ملم بمطواية ثلاثة الرؤوس بهدف صنع bayonet.



الشكل رقم (2): يظهر المطبقة على السلك ذو القياس 0.9 ملم

3. نقطع الزائد من سلك 0.9 ملم من الوحشي (من القسم الصغير بعد إجراء bayonet).
4. نقوم بلح سلك 0.9 ملم وسلك 0.025×0.017 إنش عند نقطة اللحام (من الجهة الأطول بعد إجراء bayonet).
5. نقوم الآن بقص سلك 0.025×0.017 إنش أقرب ما يمكن إلى نقطة اللحام (من الجهة الأطول بعد إجراء bayonet)، ثم نقوم بتلميع نقطة اللحام. سيصبح السلكان الآن أشبه بالحرف ٢. هذا هو الجسم الأساسي لجهاز CEOB-1.



الشكل رقم (3): يظهر السلكين 0.9 ملم و 0.025×0.017 إنش ملحوظين مع بعضهما

6. نضع الآن نابض فتح المسافة NiTi ضمن الجسم الذي صنعناه (ضمن الطرف المفرد منه، أي جزء السلك ذو القياس 0.9 ملم)، ثم نضع بعده الخطاف المنزق.



الشكل رقم (4): يظهر الجسم الأساسي لجهاز CEOB-1 بعد تطبيق نابض فتح المسافة والخطاف المنزق

7. نقوم بثني نهاية سلك الطويلة كي لا يخرج النابض والخطاف من السلك.

يتم تطبيق جهاز CEOB-1 (من نهايته المزدوجة) ضمن الأنابيبين (الرئيسي والإضافي) لطوق الرحي الأولى المطلوب توحيشها، كما يتم تنشيط الجهاز عن طريق ربط الخطاف المنزق إلى حاصرة طوق الصاحك الثاني (المدعوم كما ذكرنا بزر نانس) باستخدام سلك ربط. حسب مقدمي الجهاز، ينبغي ضغط النابض من خلال ربط الخطاف المنزق بسلك ربط إلى حوالي 60-70% من انضغاطيه العظمى (Yanez and White, 2008).

خطوات العمل السريرية:

1. تجدر الإشارة هنا إلى أن الصورة الشعاعية السيفالومترية (T1) هي نفسها الصورة السيفالومترية التشخيصية المأخوذة فور انتظام معايير الإدخال على المريض، وذلك لأن المعالجة التقويمية ستبدأ بتطبيق جهاز CEOB-1 فوراً.

2. يتم تنظيف كامل الأسنان بمعجون الخفاف وفرشاة التنظيف المطبقة على القبضة ذات السرعة المنخفضة.

3. يتم تطبيق مطاط الفصل أنسى ووحيسي الضواحك الثانية العلوية.

4. يتم خلال أسبوع اختيار أطواق ضواحك ثانية مناسبة للمريض.

5. بعد أسبوع من تطبيق مطاط الفصل على الضواحك الثانية العلوية يتمأخذ طبعة أطواق من أجل تصنيع جهاز نانس المعدل.

6. يتم تصنيع جهاز نانس المعدل للمريض خلال نفس الزيارة التي تم فيهاأخذ طبعة الأطواق من قبل الباحث.

7. في نفس الجلسة يتم إصاق زر نانس المعدل ويتم وضع مطاط فصل أنسى ووحيسي الرحي الأولى العلوية المراد توحيشها.

8. بعد أسبوع يتم إصاق طوق الرحي الأولى المراد توحishها إضافة إلى تطبيق الجسم الأساسي لجهاز CEOB-1 بما فيه نابض إغلاق المسافة، ويتم تفعيل النابض من خلال ضغطه إلى حوالي 60-70% من انضغاطيه العظمى (حسب توصيات مقدمي الجهاز).



الشكل رقم (5): يوضح المنظر الجانبي والإطباقي لجهاز CEOB-1 بعد تطبيقه سريرياً

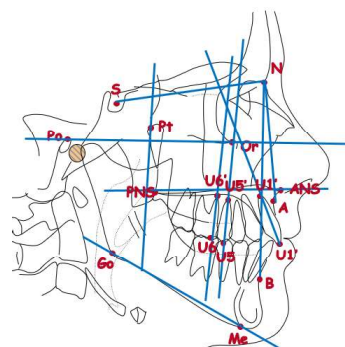
9. يتم مراقبة المريض مرة كل أسبوعين للتحقق من سلامة الجهاز ضمن الفم إضافة إلى تنشيط النابض وذلك إلى أن يتم الوصول لعلاقة أرقاء I super class (تصحيح زائد بعد الوصول لحالة صنف أول) في الجهة المعالجة.
10. عند الوصول لعلاقة I super class في الجهة المراد معالجتها يتم تطبيق مطاط فصل أنسى ووحشي الرحي الأولى في الجهة المقابلة بهدف تطبيق طوق وصنع زر نانس آخر يربط بين الأرقاء الأولى ليحافظ على الرحي الأولى المؤخّشة في موقعها الجديد ويمنع انساللها، ثم يتم تحديد موعد بعد أسبوع القيام بعملية إزالة جهاز CEOB-1 وزر نانس المعدل المرتبط بالضواحك الثانية العلوية إضافة إلى طوق الرحي الأولى العلوية المؤخّشة.
11. بعد أن تم إزالة جهاز CEOB-1 وزر نانس المعدل وطوق الرحي الأولى العلوية المؤخّشة وإزالة مطاط الفصل حول الرحي الأولى العلوية المقابلة، يتم تحويل المريض في نفس الجلسة إلى مركز التصوير الشعاعي لإجراء صور شعاعية بانورامية وسيفالومترية جانبية بالإطباقي المركزي (الصورة السيفالومترية T2).
12. يعود المريض في نفس يوم الجلسة من أجل تسلیم الصور الشعاعية ومن أجلأخذ طبعة أطواق للأرقاء الأولى العلوية وبالتالي تصنيع جهاز نانس يدعم وضع الرحي المؤخّشة الجديد. يتم تصنيع وتركيب جهاز نانس هذا في نفس الجلسة لمنع حدوث أي انسالل محتمل للرحي الأولى المؤخّشة في حال تم تأجيل تركيب جهاز نانس إلى موعد لاحق.

تقييم التغيرات الناتجة عن الإرهاق:

تم تقييم التغيرات السنية والهيكيلية الناتجة عن إرجاع الأرقاء العلوية شعاعياً، وذلك عن طريق الصور الشعاعية السيفالومترية. بعد جمع كافة الصور الشعاعية السيفالومترية بالزمانيين T1 و T2 لجميع مرضى العينة، تم ترسيم هذه الصور باستخدام برنامج AudaxCeph Ver 6.0.24 (من شركة Audax d.o.o. Slovenia, Ljubljana). حيث تم تصميم التحليل الخاص بالبحث على البرنامج بحيث يتضمن النقاط والمستويات والزوايا المطلوبة، وتم تحليل كل صورة من خلال تعين النقاط السيفالومترية المطلوبة مباشرة على الصورة ليقوم البرنامج بشكل آلي بتحديد المستويات وحساب القياسات الزاوية والمليمترية المطلوبة.

تم إجراء التقييم من قبل كل من الباحثين (ع.ز.) و (ن.ب.)، بفواصل زمنيّة ساعي على الأقل بين كل صورة وصورة، وبحيث لا يتعدى عدد الصور المقيمة 5 صور كل يوم. بتطبيق معادلة دالبرغ (Dahlberg, 1940) على قياسات الباحث (ع.ز.) و (ن.ب.)، لم يتجاوز خطأ القياس 0.8 درجة لقياسات الزاوية و 0.7 ملم لقياسات الخطية. أيضاً لم تكون الفروقات في القياسات بين الباحثين دالة إحصائياً عند تطبيق اختبار t للعينات المرتبطة.

التحليل السيفالومترى



الشكل رقم (6): يبين النقاط والمستويات السيفالومترية المستخدمة في البحث

المتغيرات (الخطية والزاوية) المقاسة هي:

SNA ،SNB ،ANB ،SN^ANSPNS ،SN^GoMe ،B ،Distance U1 – PtV ،Distance U5 – PtV, Distance U6 – PtV ،Distance U1 – FR ،Distance U5 – FR ،Distance U6 – FR ،U1^FR ،U5^FR ،U6^FR.

تم إجراء الاختبارات الإحصائية اللازمـة باستخدام برنامج بـرـنامج SPSS (IBM, Armonk, New York, USA) الإصدار 25. تم تطبيق اختبار t للعينـات المرتبـطة (Paired sample t test) لـتحديد مقـادير الفروـقات في الـقيم السيفـالومترـية النـاتـجة عن تـوحـيـش الأـرـحـاء العـلـويـة باـسـتـخدـام جـهاـز CEOB-1.

Results -4- النـتـائـج

تألفت عـيـنة الـبـحـث من 10 مـرـضـى (4 ذـكـور و 6 إـنـاث) تـراوـحت أـعـمـارـهـم بـيـن 13.5 و 29.25 سـنـة (بـمـتوـسط 3.71±17.74 سـنـة).

أولاً: الإـحـصـاءـ الـوـصـفـيـ:

الجدول رقم (1): يـبيـن قـيم الإـحـصـاءـ الـوـصـفـيـ لمـتـغـيرـات الـبـحـث قـبـل بدء التـوـحـيـش

	N	Minimum	Maximum	Mean	Std. Deviation
SNA	10	77.35	83.67	80.7375	2.28414
SNB	10	74.05	79.23	76.8496	1.91604
ANB	10	2.79	5.00	3.9906	.72043
SN-ANSPNS	10	2.33	12.49	8.2534	3.66787
SN-GoMe	10	28.36	36.92	33.2347	2.79013
B	10	21.30	29.70	24.9813	2.77193
Distance U1 – PtV	10	48.21	59.03	52.7496	3.16624
Distance U5 – PtV	10	27.71	36.20	30.2249	2.93616
Distance U6 – PtV	10	22.03	29.19	25.0019	2.61049
Distance U1 – FR	10	42.82	58.17	50.3724	4.46780
Distance U5 – FR	10	41.37	48.50	45.2009	2.56596
Distance U6 – FR	10	40.02	53.01	45.0039	4.75034
U1^FR	10	98.12	117.12	108.5555	6.68584
U5^FR	10	79.21	93.94	87.4323	3.64876
U6^FR	10	79.25	86.27	82.3948	2.53425

الجدول رقم (2): يبين قيم الإحصاء الوصفي لمتغيرات البحث عند انتهاء التوجیش

	N	Minimum	Maximum	Mean	Std. Deviation
SNA	10	76.83	83.82	81.1346	2.46721
SNB	10	73.69	79.23	76.9688	2.02780
ANB	10	3.13	5.12	4.1658	.75064
SN-ANSPNS	10	3.85	12.10	8.6866	3.16120
SN-GoMe	10	29.02	36.47	33.1910	2.84138
B	10	17.51	29.70	24.5045	3.43097
Distance U1 – PtV	10	49.09	58.65	53.2275	3.14756
Distance U5 – PtV	10	29.10	34.20	31.5213	1.53350
Distance U6 – PtV	10	18.04	25.85	21.3633	2.57745
Distance U1 – FR	10	42.82	54.69	49.7097	4.08115
Distance U5 – FR	10	41.58	48.62	45.6424	2.51187
Distance U6 – FR	10	38.24	48.00	43.6669	3.32557
U1^FR	10	98.71	117.19	109.2631	6.79673
U5^FR	10	82.97	98.37	91.0299	4.32605
U6^FR	10	63.57	80.26	71.3773	5.92823

ثانياً: التحليل الإحصائي:

من خلال تطبيق اختبار Shapiro-Wilk لتحديد نمط توزع قيم الفروقات في متغيرات البحث تم استنتاج أن توزع قيم الفروق الناتجة عن تطبيق الجهاز CEOB-1 في كل المتغيرات طبيعي. يسمح هذا الأمر بإجراء المقارنات باستخدام اختبارات إحصائية معيارية (اختبار t للعينات المرتبطة).

الجدول رقم (3) يبين نتائج اختبار Paired sample t test للمقارنة بين قيم متغيرات البحث قبل وبعد التوحیش

	Paired Differences						t	df	Sig. (2-tailed)			
	Mean	Std. Deviation	Std. Error Mean	95% Confidence Interval of the Difference								
				Lower	Upper							
SNA	.39712	1.21372	.38381	-.47113-	1.26536	1.035	9	.328				
SNB	.11923	.97653	.30881	-.57933-	.81780	.386	9	.708				
ANB	.17523	.59827	.18919	-.25275-	.60320	.926	9	.379				
SN-ANSPNS	.43318	1.51796	.48002	-.65270-	1.51907	.902	9	.390				
SN-GoMe	-.04363-	1.19505	.37791	-.89852-	.81126	-.115-	9	.911				
B	-.47682-	1.71337	.54182	-1.7024-	.74886	-.880-	9	.402				
Distance U1 – PtV	.47787	2.53843	.80272	-1.3380-	2.29375	.595	9	.566				
Distance U5 – PtV	1.29645	2.35113	.74349	-.38544-	2.97835	1.744	9	.115				
Distance U6 – PtV	-3.63858-	1.23600	.39086	-4.5227-	-2.7544-	-9.30-	9	.000***				
Distance U1 – FR	-.66273-	1.79416	.56736	-1.9461-	.62074	-1.16-	9	.273				
Distance U5 – FR	.44147	.84075	.26587	-1.15996-	1.04291	1.660	9	.131				
Distance U6 – FR	1.33703-	2.33187	.73740	-3.0051-	.33109	-1.81-	9	.103				
U1^FR	.70760	3.67931	1.16350	-1.9244-	3.33963	.608	9	.558				
U5^FR	3.59760	3.44008	1.08785	1.13671	6.05848	3.307	9	.009**				
U6^FR	11.0174-	6.37695	2.01657	-15.579-	-6.4556-	-5.46-	9	.000***				

من الجدول السابق نرى أن الفروق في قيم متغيرات البحث بين المرحلتين T0 و T1 كانت دالة إحصائية في المتغيرات Distance U6-PtV (بعد الرحي الأولى العلوية عن العمود الجنحبي الحنكي) و U5^FR (الزاوية بين محور الضاحك الثاني العلوي و مستوى فرانكفورت) و U6^FR (الزاوية بين محور الرحي الأولى العلوية ومستوى فرانكفورت)، إذ كانت قيمة P لها أقل من 0.05، أما بقية المتغيرات فقد كانت الفروق فيها غير دالة إحصائية، إذ كانت قيمة P لها أكبر من 0.05. زادت القيم بعد العلاج في المتغير U5^FR بينما قلت في المتغيرين Distance U6-PtV و U6^FR.

5- المناقشة :Discussion

تناولت هذه الدراسة التأثيرات السننية والهيكلية الناتجة عن إرجاع الأرحة العلوية باستخدام جهاز CEOB-1، وتم تطبيق هذه الدراسة على عينة من 10 مرضى سوء إطباق من الصنف الثاني حسب أنجل ومن توافرت فيهم معايير الإدخال المذكورة.

أولاً: مقايير التغييرات الحاصلة على مستوى الأرحة العلوية بشكل خاص:

بالاعتماد على قيمة بعد الرحي الأولى العلوية عن العمود الجنحبي PtV، بلغ مقدار الحركة الوحشية للأرحة الأولى العلوية 0.39 ± 3.64 ملم، وكانت هذه القيمة دالة إحصائية. وفيما يتعلق بميلان الرحي الأولى العلوية، فقد مالت الرحي إلى الوحشي بمقدار 2.02 ± 11.02 درجة، وكانت هذه القيمة دالة إحصائية أيضاً. أما بالنسبة لوضع الرحي عمودياً، فقد حصل غرز للأرحة ولكن بقيمة غير دالة إحصائية بلغت 0.74 ± 1.34 ملم.

من الصعب إجراء مقارنة إحصائية شاملة لقيم حركة الرحي الأولى العلوية بين البحث الحالي والأبحاث الأخرى، لكن يمكن ملاحظة أن التغيرات التي طرأت على الأرحة الأولى العلوية لدى أفراد عينة هذا البحث قريبة من قيم الإرجاع والإمالة الوحشية للأرحة الأولى العلوية فيأغلب المقالات التي تناولت أجهزة شبيهة بالجهاز CEOB-1، مع ملاحظة تفوق بسيط في مقدار الحركة الوحشية، مقابل ميلان وحشي أكثر للرحي المُؤَخَّشة، في حالة الجهاز CEOB-1. من الدراسات التي تناولت أجهزة توحيش بتصميم مشابه لتصميم الجهاز CEOB-1 دراسة Brickman و زملائه (Brickman et al., 2000) التي قيم فيها فعالية جهاز jig Jones في توحيش الرحي الأولى العلوية، والتي وجد فيها أن الرحي الأولى العلوية تحرك إلى الوحشي وسطياً بمقدار 2.51 ملم مترافق مع ميلان وحشي بمقدار 7.53 درجة دون إحداث غرز أو تزيين على مستوى الرحي. Patel et al., 2009 (Patel et al., 2009) Pendulum و Jones (Jones و Pendulum) وجدوا أن جهاز jig يدفع الرحي الأولى العلوية إلى الوحشي بمقدار 3.12 ملم وسطياً مترافق مع ميلان وحشي بمقدار 9.54 درجة، مع عدم وجود فروق ذات دلالة إحصائية بين jig Jones و Pendulum فيما يتعلق بمقدار توحيش الرحي ومقدار الإمالة الوحشية.

هذه الاختلافات في نتائج الأبحاث قد تكون راجعة إلى اختلاف شدة علاقة الصنف الثاني بين بحث وأخر (نصف حدية - حدية كاملة) إضافة إلى اختلاف حجوم الأسنان واختلاف معيار توقف تطبيق القوة (علاقة صنف أول طبيعية أو علاقة I super Class). يبدو أن مقدار الإمالة الوحشية يتاسب طردياً مع مقدار المسافة التي تحركتها الرحي وحشاً، وبالتالي من المناسب تقدير كمية الفائدة المأمولة مقابل التأثيرات الجانبية المتوقعة عند استخدام هذا الجهاز لتوحيش الأرحة الأولى العلوية. كما يمكن القول أن التغريز الحاصل على مستوى الرحي المُؤَخَّشة ولو بقيم صغيرة عائد إلى توضع نقطة تطبيق قوة التوحيش إبطاقياً بالنسبة إلى مركز مقاومة الرحي.

ثانياً: التغيرات الهيكلية الناتجة عن إرجاع الأرحة العلوية بشقيها السهمي والعمودي:

لم يؤثر CEOB-1 على توضع الفكين العلوي والسفلي سهمياً (أي قيم الزوايا SNA و SNB و ANB)، ولا حتى على العلاقات الفكية العمودية (المتمثلة بالزوايا SN^ANSPNS و SN^GoMe و B) بشكل مهم إحصائياً، إذ لم تتجاوز التغيرات في قيم هذه الزوايا نصف درجة. من المنطقي عدم تغير موقع النقطتين A و B عند إجراء التوحيش بالأجهزة داخل الفموية، إذ أن تصاميم هذه الأجهزة إلى تحريك الأرحة الأولى العلوية فقط، وليس لها أي استادات خارج فموية يمكن الاعتماد عليها لتحريك كامل الفكين العلوي أو السفلي سهمياً، وهذا ما ينطبق أيضاً على الزاوية SN^ANSPNS. يضاف إلى ذلك أن أغلب المرضى في عينة هذا البحث هم من تجاوزوا قفزة النمو البلوغية، مما يدل على توقف أو اقتراب النمو الهيكي للمركب القحفى الوجهي من التوقف، وبالتالي صعوبة التأثير عليه من خلال الأجهزة التقويمية (Manlove et al., 2020).

أما فيما يتعلق بالزاوية SN^GoMe و الزاوية B، فقد لوحظ كما ذكر سابقاً حدوث غرز بسيط للرحي المُؤَخَّشة. قد يكون هذا التغريز مسؤولاً بشكل ما عن معاكسة تأثير المقص (Hinge or Scissors effect) المعروف حدوثه نتيجة لحركة الأرحة وحشاً (Yanez and White, 2008)، الأمر الذي حافظ على الزاوية SN^GoMe بدون تغير.

اتفقت نتيجة هذه البحث مع نتيجة Brickman et al., 2000 (Brickman et al., 2000) الذي لم يلاحظ تغيراً في قيمة الزاوية SNA ولا في قيمة الزاوية FMA (الزاوية بين مستوى الفك السفلي ومستوى فرانكفورت) بعد التوحish بجهاز jig Jones (لكنه وجد تراجعاً بسيطاً في النقطة A بالنسبة للعمود الجناحي الحنكي عاد إلى طبيعته بعد إنهاء العلاج التقويمي بالجهاز الثابت). Patel و زملاؤها (Patel et al., 2009) وجدوا نتائج مشابهة عند دراستهم لجهازي jig و Pendulum، لكن بفارق وحيد وهو انفراج زاوية مستوى الفك السفلي بمقدار طفيف (أقل من درجة). Patel et al. في بحث آخر لها

(2014 *et al.*) أكدت على عدم تغير الزوايا SNA و SNB لدى المرضى المعالجين بجهاز jig Jones، لكنها ذكرت حدوث زيادة مهمة إحصائياً في طول جسم الفك السفلي (متمثلاً بالبعد بين النقطتين G0 و Gn) بعد إنتهاء التوحيس، وعزت ذلك الأمر إلى استمرار نمو المركب القحفى الوجهي عند المرضى خلال فترة العلاج، إذ كان متوسط أعمار أفراد العينة لديها عند بداية العلاج 13.1 سنة.

ثالثاً: التغيرات السنية السهمية الناتجة عن إرجاع الأرحة العلوية:

باستثناء الرحى الأولى العلوية التي تمت مناقشتها سابقاً، كان التغيير الوحيد الدال إحصائياً هو ميلان الصاحك الثاني العلوي أنسيا بمقدار 1.09 ± 3.6 ملم، وكانت هذه القيمة دالة إحصائياً، أما انسال الصاحك الثاني العلوي بمقدار 0.74 ± 1.3 ملم وميلان الثنية العلوية بمقدار 1.16 ± 0.7 درجة فلم يكونوا ذوي أهمية إحصائية.

أغلب أجهزة التوحيس ذات الإرساء التقليدي تتراافق مع شكل من أشكال فقد الإرساء، والمتمثل بشكل أساسي في إنسال وحدة الدعم السنوية أنسيا. في هذا البحث مال الصاحك الثاني أنسيا وانسل أنسيا، لكن لم يطرأ تغير هام على وضع القواطع العلوية، الأمر الذي قد يعود إلى كون الصاحك الثاني هو السن الذي يستقبل رد فعل القوى الدافعة للرحى وحشياً بشكل مباشر، وأن رد الفعل هذا يتماً عند انتقاله عبر الأسنان وذر زر نانس المعدل إلى منطقة القواطع. أو قد يكون السبب هو تسبب حركة الصاحك الثاني بإحداث تراكب في القطاع السنوي أنسيا الصاحك الثاني عوضاً عن تسببه بدفع كامل هذا القطاع نحو الأمام (وهو ما يجعل تقدير فقدان الإرساء من خلال وضع الثاني العلوي أكثر واقعية (Da Costa Grec *et al.*, 2013)).

تراوحت قيم فقدان الإرساء السهمي بين دراسة وأخرى وبين جهاز وآخر. كانت قيم فقدان الدعم في البحث الحالي أقل مما وجدته (Brickman *et al.*, 2000) Brickman بمقدار 2 ملم وميلان أنسيا يساوي 4.76 ، إضافة إلى ميلان دهليزي للاقطعة العلوية بمقدار 2.4 درجة لكنه مقدار لم يكن دالاً إحصائياً. أيضاً كانت قيم فقدان الدعم أقل في مجموعة CEOB-1 من القيم التي وجدتها Patel وزملاؤها، إذ مال الصاحك الثاني 9.29 درجة أنسيا وانسل أنسيا بمقدار 2.55 ملم، في حين مالت الثنية العلوية 2.29 درجة دهليزيا وبرزت بحوالي 1.11 ملم، وعند مقارنتها لهذه القيم مع قيم جهاز Pendulum وجدت أن جهاز Pendulum كان أفضل من جهاز jig Jones في سيطرته على وضع الصاحك الثاني العلوي، وعزت ذلك إلى كبر حجم زر نانس في جهاز Pendulum مقارنة مع جهاز jig Jones إضافة إلى تطبيق أربع ضواحك بدل من اثنين في جهاز Pendulum مقارنة مع جهاز jig Jones، وأشارت أيضاً إلى أن مقادير حركة الصاحك المختلفة بين الجهازين لم يكن لها تأثير مهم على وضع القواطع العلوية. نتائج مشابهة أيضاً قدمها Mavropoulos *et al.*, 2005 (Mavropoulos *et al.*, 2005). قد يعود الاختلاف في مقادير حركة الضواحك أنسيا بين الدراسة الحالية والدراسات السابقة من جهة، وبين الدراسات السابقة فيما بينها من جهة أخرى إلى عدة عوامل، إذ اقترح Mavropoulos *et al.*, 2005 (Mavropoulos *et al.*, 2005) أن وجود مسافات بين الأسنان أو ازدحامها (وبالتالي عدم انتظام نقاط التماس فيما بينها) يفقد قدرة كتلة الدعم الأمامية على مقاومة رد فعل قوى التوحيس، هذا بالإضافة إلى الاختلافات في مقادير عمق قبة الحنك. إضافة إلى ذلك، يتأثر مدى فقدان الدعم بمدى الحركة الوحشية التي خضعت لها الرحى الأولى العلوية، ومدى شدة علاقة الصنف الثاني الروحية، وحجم زر نانس وعدد الأسنان المرتبطة به، وطبيعة النسج الرخوة لقبة الحنك (Da Costa Grec *et al.*, 2013; Vilanova *et al.*, 2020)، الأمر الذي يجعل الإرساء بواسطة زر نانس أمراً متغيراً.

رابعاً: التغيرات السنية العمودية الناتجة عن إرجاع الأرحاء العلوية:

لم تطرأ تغيرات ذات قيمة دالة إحصائيا على وضع الثابيا العلوية أو الضواحك الثانية العلوية بعد توحيش الأرحاء العلوية باستخدام جهاز CEOB-1، إذ بزغ الصاحك الثاني العلوي بمقدار 0.27 ± 0.44 ملم، في حين تغزت الثانية العلوية بمقدار 0.57 ± 0.66 ملم.

من المتوقع حدوث تغيرات عمودية للضواحك العلوية بسبب توحيش الأرحاء العلوية (Antonarakis and Kiliaridis, 2008)، لكنها عادة تكون بمقادير أصغرية وليس ذات أهمية سريرية كبيرة (Kinzinger et al., 2008). عزا Bolla حدوث تبزيع في الضواحك العلوية (المترتبة بزر نانس) إلى أن شعاع قوة رد الفعل ذات الاتجاه الأنسي، والتي تعمل على إماملة وتحريك الصاحك العلوي أنسيا، تم مقاومتها من قبل الأسنان المتوضعة إلى الأنسي من هذا الصاحك، وهذا ما ينتج عنه شعاع قوة عمودية تعمل على تبزيغه (Bolla et al., 2002). وجدت أن تبزيع الضواحك هو نتيجة لميلانها الأنسي، وبالتالي فإن حركتها العمودية أثناء توحيش الأرحاء تتأثر بشكل مباشر بمقدار مقاومتها لرد فعل قوى الدفع الوحشي وبمقدار حركتها بالاتجاه السهمي (Patel et al., 2009). سجلت تبزيغاً للصاحك الثاني العلوي غير دال (Vinalova et al., 2009) 0.48 ملم في مجموعة jig Jones و 0.18 ملم في مجموعة Distal jet و 0.80 في مجموعة First Class، إحصائياً (Patel et al., 2009) سجلت حركة عمودية للثانية العلوية بمقادير أقل في مجموعة jig jones و First Class (Vilanova et al., 2009). ذكر Antonarakis في مراجعته المنهجية حول الأجهزة ذات الإرساء التقليدي لاحظ أن الحركات العمودية الطارئة على الضواحك والقواطع العلوية تبزيعية بمجملها، إذ بلغ متوسط بزوغ الصاحك الثاني 1.1 ملم والقطعة العلوية 0.4 ملم (Antonarakis and Kiliaridis, 2008). في حين وجدت Patel حدوث تبزيع للصاحك الثاني العلوي دال إحصائياً في مجموعة جهاز Jones jig، إذ بلغ المقدار 1.73 ملم لمجموعة jig Jones مقابل 0.85 ملم لمجموعة Pendulum، وتم عزو هذا الاختلاف إلى ارتباط زر نانس بأربعة أسنان (الضواحك الأولى والثانية) في جهاز Pendulum وكبر حجمه مقارنة مع زر نانس المستخدم في جهاز Jones jig المرتبط بالضواحك الثانية فقط والأصغر حجماً (Patel et al., 2009).

مقالات قليلة ذكرت حدوث تغيير في الضواحك. Polat-Ozsoy سجل تغييراً بمقدار 9.9 ملم على مستوى الضواحك الثانية و 7.7 ملم على مستوى الضواحك الأولى عن التوحيش بالبندولوم المدعوم عظمياً، مقابل تبزيع 3.8 ملم للصاحك الثاني و 6.9 ملم للصاحك الأول (Polat-Ozsoy et al., 2008). لم يقم الباحث بمناقشة هذه القيم، لكن يبدو أن مقدار الغرز الكبير الطارئ على الضواحك في حالة التوحيش بالبندولوم المدعوم عظمياً له علاقة بمقدار الغرز الذي طرأ على الرحي الأولى (9.1 ملم)، الأمر الذي يعيد نشاط الألياف عبر الحاجزية إلى الواجهة.

:Conclusions

1- يعتبر توحيش الأرحاء الأولى العلوية خياراً علاجياً جيداً في العديد من حالات سوء الإطباق من الصنف الثاني حسب أنجل.

2- يمكن اللجوء إلى توحيش الأرحاء الأولى العلوية بعد بزوغ الأرحاء الثانية العلوية والحصول على نتائج جيدة.
3- أظهر الجهاز CEOB-1 فعالية جيدة في توحيش الأرحاء الأولى العلوية، لكن يتراافق ذلك مع فقدان في الإرساء.

:References

- 1- Antonarakis, G. S., and Kiliaridis, S., (2008). Maxillary molar distalization with noncompliance intramaxillary appliances in class II malocclusion: A systematic review, *Angle Orthod.*, 78(6): 1133–1140.

- 2– Bolla, E., Muratore, F., Carano, A., and Bowman, S. J., (2002). Evaluation of Maxillary Molar Distalization with the Distal Jet: A Comparison with Other Contemporary Methods, *Angle Orthod.*, 72(5): 481–494.
- 3– Brickman, C. D., Sinha, P. K., and Nanda, R. S., (2000). Evaluation of the Jones jig appliance for distal molar movement, *Am J Orthod Dentofacial Orthop.*, 118(5): 526–534.
- 4– Carano, A. and Testa, M., (1996). The distal jet for upper molar distalization., *J Clin Orthod.*, 30(7): 374–380.
- 5– Grec, R. H., Janson, G., Branco, N. C., Moura-Grec, P. G., Patel, M. P., and Castanha Henriques, J. F., (2013). Intraoral distalizer effects with conventional and skeletal anchorage: a meta-analysis, *Am J Orthod Dentofacial Orthop.* 143(5), 602–615.
- 6– Cozzani, M., Zallio, F., Lombardo, L., and Gracco, A., (2010). Efficiency of the distal screw in the distal movement of maxillary molars. *World J Orthod.*, 11(4): 341–345.
- 7– Fortini, A., Lupoli, M., Giuntoli, F., and Franchi, L., (2004). Dentoskeletal effects induced by rapid molar distalization with the first class appliance, *Am J Orthod Dentofacial Orthop.*, 125(6): 697–704.
- 8– Gianelly, A. A., Vaitas, A. S. and Thomas, W. M., (1989). The use of magnets to move molars distally., *Am J Orthod Dentofacial Orthop.*, 96(2): 161–167.
- 9– Haydar, S. and Uner, O., (2000). Comparison of Jones jig molar distalization appliance with extraoral traction., *Am J Orthod Dentofacial Orthop.*, 117(1): 49–53.
- 10– Hilgers, J. J., (1992). The pendulum appliance for Class II non-compliance therapy, *J Clin Orthod.*, 26(11): 706–714.
- 11– Jones, R. D. and White, J. M., (1992). Rapid Class II molar correction with an open-coil jig, *J Clin Orthod.*, 26(10): 661–664.
- 12– Kinzinger, G. S. M., Eren, M. and Diedrich, P. R., (2008). Treatment effects of intraoral appliances with conventional anchorage designs for non-compliance maxillary molar distalization. A literature review, *Eur J Orthod.*, 30(6): 558–571.
- 13– Kloehn, S. J., (1961). Evaluation Of Cervical Anchorage Force In Treatment, *Angle Orthod.*, 31(2): 91–104.
- 14– Locatelli, R., Bednar, J., Dietz, V. S., and Gianelly, A. A., (1992). Molar distalization with superelastic NiTi wire, *J Clin Orthod.*, 26(5): 277–279.
- 15– Maino, B. G., Gianelly, A. A., Bednar, J., Mura, P., and Maino, G., (2007). MGBM system: new protocol for Class II non extraction treatment without cooperation, *Prog Orthod.* 8(1): 130–143.
- 16– Manlove, A. E., Romeo, G., and Venugopalan, S. R., (2020). Craniofacial Growth:

- Current Theories and Influence on Management, *Oral Maxillofac Surg Clin North Am.* 32(2): 167–175.
- 17– Mavropoulos, A., Karamouzos, A., Kiliaridis, S., and Papadopoulos, M. A., (2005). Efficiency of noncompliance simultaneous first and second upper molar distalization: A three-dimensional tooth movement analysis, *Angle Orthod.*, 75(4): 532–539.
- 18– Nanda, R. S. and Tosun, Y. S., (2010). *Biomechanics in orthodontics : principles and practice*. Chicago: Quintessence Pub. Co., PP: 55
- 19– Nur, M., Bayram, M., Celikoglu, M., Kilkis, D., and Pampu, A. A., (2012). Effects of maxillary molar distalization with Zygoma-Gear Appliance., *Angle orthod.*, 82(4): 596–602.
- 20– Patel, M. P., Janson, G., Henriques, J. F., de Almeida, R. R., de Freitas, M. R., Pinzan, A., and de Freitas, K. M., (2009). Comparative distalization effects of Jones jig and pendulum appliances, *Am J Orthod Dentofacial Orthop.*, 135(3): 336–342.
- 21– Patel, M. P., Henriques, J. F., Freitas, K. M., and Grec, R. H., (2014). Cephalometric effects of the Jones Jig appliance followed by fixed appliances in Class II malocclusion treatment, *Dental Press J Orthod.*, 19(3): 44–51.
- 22– Polat-Ozsoy, O., Kircelli, B. H., Arman-Ozçirpici, A., Pektaş, Z. O., and Uçkan, S., (2008). Pendulum appliances with 2 anchorage designs: Conventional anchorage vs bone anchorage, *Am J Orthod Dentofacial Orthop.*, 133(3): 339.e9–339.e17.
- 23– Runge, M. E., Martin, J. T., and Bukai, F., (1999). Analysis of rapid maxillary molar distal movement without patient cooperation., *Am J Orthod Dentofacial Orthop.*, 115(2): 153–157.
- 24– Dahlberg, G., (1940). Statistical Methods for Medical and Biological Students., *Br Med J.*, 2(4158): 358–359.
- 25– Vilanova, L., Henriques, J., Patel, M. P., Reis, R. S., Grec, R., Aliaga-Del Castillo, A., Bellini-Pereira, S. A., & Janson, G., (2020). Class II malocclusion treatment changes with the Jones jig, Distal jet and First Class appliances, *J Appl Oral Sci.*, 28, p. e20190364.
- 26– Yanez, E. E. R. and White, L. W., (2008). *1001 tips for orthodontics and its secrets*. Miami, Fla.: Amolca.